

Ultimo aggiornamento delle informazioni: Gennaio 2018



incasso circolare fisso - Ø125 mm - warm white - ottica flood - UGR<19

Codice prodotto

N002

Descrizione tecnica

Apparecchio rotondo fisso finalizzato all'utilizzo di sorgente LED con tecnologia C.o.B. Versione con falda per installazione ad appoggio. Riflettore metallizzato con vapori di alluminio sottovuoto con strato di protezione antigraffio. Corpo in alluminio pressofuso e sistema di dissipazione passiva. Prodotto completo di LED in tonalità di colore warm white (3000K). Emissione luminosa luce generale con luminanza controllata UGR<19 1500 cd/m² α>65° ottica flood.

Installazione

Ad incasso tramite molle di torsione che consentono una facile installazione su controsoffitti con spessore a partire da 1 mm fino a 20 mm.

Dimensione (mm)

Ø144x107

Colore

Bianco/Alluminio (39)

Peso (Kg)

1.02

Montaggio

a soffitto

Cablaggio

prodotto completo di alimentatore DALI

Soddisfa EN60598-1 e relative note



IP20

IP54

Sul prodotto visibile
dopo l'installazione



Configurazione di prodotto N002

Caratteristiche del prodotto

Flusso totale emesso [Lm]: 1756.8
Potenza totale [W]: 15.1
Efficienza luminosa [Lm/W]: 116.3
Life Time: 50,000h - L80 - B10 (Ta 25°C)

Flusso totale disperso verso l'alto [Lm]: 0
Flusso in emergenza [Lm]: /
Tensione [V]: -
Numero di vani: 1

Caratteristiche del vano Tipo 1

Rendimento [%]: 88
Codice lampada: LED
Codice ZVEI: LED
Potenza nominale [W]: 13
Flusso nominale [Lm]: 2000
Intensità massima [cd]: /
Angolo di apertura [°]: 24°

Numero di lampade per vano: 1
Attacco: /
Perdite del trasformatore [W]: 2.1
Temperatura colore [K]: 3000
IRC: 80
Lunghezza d'onda [Nm]: /
Step MacAdam: 2

Polare

| Imax=4756 cd | CIE nL 0.88 98-100-100-100-88 UGR 16.9-16.9 DIN A.61 UTE 0.88A+0.00T F*1=97.8 F*1+F*2=999 F*1+F*2+F*3=1000 CIBSE LG3 L<200 cd/m ² at 65° BZ1 | Lux | | | |
|--------------|--|-----|-----|-----|------|
| | | h | d | Em | Emax |
| 90° | 180° | 2 | 0.9 | 899 | 1189 |
| 5000 | 0° | 4 | 1.7 | 225 | 297 |
| α=24° | | 6 | 2.6 | 100 | 132 |
| | | 8 | 3.4 | 56 | 74 |

Coefficienti di utilizzazione

| R | 77 | 75 | 73 | 71 | 55 | 53 | 33 | 00 | DRR |
|------|----|----|----|----|----|----|----|----|-----|
| K0.8 | 79 | 74 | 71 | 69 | 74 | 71 | 70 | 68 | 77 |
| 1.0 | 82 | 78 | 76 | 73 | 77 | 75 | 75 | 72 | 82 |
| 1.5 | 86 | 84 | 81 | 79 | 83 | 81 | 80 | 77 | 88 |
| 2.0 | 89 | 87 | 85 | 84 | 86 | 84 | 83 | 81 | 92 |
| 2.5 | 91 | 89 | 88 | 87 | 88 | 87 | 86 | 84 | 95 |
| 3.0 | 92 | 91 | 90 | 89 | 89 | 89 | 88 | 85 | 97 |
| 4.0 | 93 | 92 | 92 | 91 | 91 | 90 | 89 | 87 | 99 |
| 5.0 | 94 | 93 | 93 | 92 | 92 | 91 | 90 | 88 | 100 |

Curva limite di luminanza

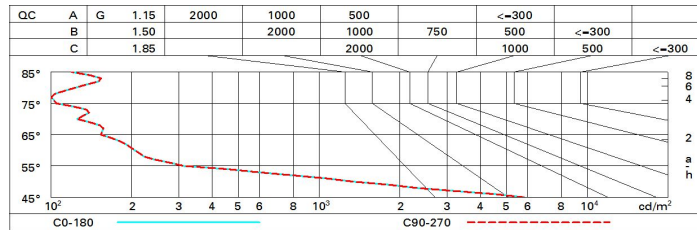


Diagramma UGR

| Corrected UGR values (at 2000 lm bare lamp luminous flux) | | | | | | | | | | | |
|---|------|------------------|------|------|------|------|----------------|------|------|------|------|
| Reflect.: | | viewed crosswise | | | | | viewed endwise | | | | |
| ceil/cav | | 0.70 | 0.70 | 0.50 | 0.50 | 0.30 | 0.70 | 0.70 | 0.50 | 0.50 | 0.30 |
| walls | | 0.50 | 0.30 | 0.50 | 0.30 | 0.30 | 0.50 | 0.30 | 0.50 | 0.30 | 0.30 |
| work pl. | | 0.20 | 0.20 | 0.20 | 0.20 | 0.20 | 0.20 | 0.20 | 0.20 | 0.20 | 0.20 |
| Room dim | | | | | | | | | | | |
| x | y | | | | | | | | | | |
| 2H | 2H | 17.5 | 18.1 | 17.8 | 18.4 | 18.6 | 17.5 | 18.1 | 17.8 | 18.4 | 18.6 |
| | 3H | 17.3 | 17.9 | 17.6 | 18.2 | 18.5 | 17.3 | 17.9 | 17.6 | 18.2 | 18.5 |
| | 4H | 17.3 | 17.8 | 17.6 | 18.1 | 18.4 | 17.3 | 17.8 | 17.6 | 18.1 | 18.4 |
| | 6H | 17.2 | 17.7 | 17.5 | 18.0 | 18.3 | 17.2 | 17.7 | 17.5 | 18.0 | 18.3 |
| | 8H | 17.1 | 17.6 | 17.5 | 18.0 | 18.3 | 17.1 | 17.6 | 17.5 | 18.0 | 18.3 |
| | 12H | 17.1 | 17.6 | 17.5 | 17.9 | 18.3 | 17.1 | 17.6 | 17.5 | 17.9 | 18.3 |
| 4H | 2H | 17.3 | 17.8 | 17.6 | 18.1 | 18.4 | 17.3 | 17.8 | 17.6 | 18.1 | 18.4 |
| | 3H | 17.1 | 17.6 | 17.5 | 17.9 | 18.3 | 17.1 | 17.6 | 17.5 | 17.9 | 18.3 |
| | 4H | 17.0 | 17.4 | 17.4 | 17.8 | 18.2 | 17.0 | 17.4 | 17.4 | 17.8 | 18.2 |
| | 6H | 16.9 | 17.3 | 17.4 | 17.7 | 18.1 | 16.9 | 17.3 | 17.4 | 17.7 | 18.1 |
| | 8H | 16.9 | 17.2 | 17.3 | 17.6 | 18.1 | 16.9 | 17.2 | 17.3 | 17.6 | 18.1 |
| | 12H | 16.8 | 17.1 | 17.3 | 17.6 | 18.0 | 16.8 | 17.1 | 17.3 | 17.6 | 18.0 |
| 8H | 4H | 16.9 | 17.2 | 17.3 | 17.6 | 18.1 | 16.9 | 17.2 | 17.3 | 17.6 | 18.1 |
| | 6H | 16.8 | 17.1 | 17.3 | 17.5 | 18.0 | 16.8 | 17.1 | 17.3 | 17.5 | 18.0 |
| | 8H | 16.7 | 17.0 | 17.2 | 17.4 | 17.9 | 16.7 | 17.0 | 17.2 | 17.4 | 17.9 |
| | 12H | 16.7 | 16.9 | 17.2 | 17.4 | 17.9 | 16.7 | 16.9 | 17.2 | 17.4 | 17.9 |
| | 12H | 16.7 | 16.9 | 17.2 | 17.4 | 17.9 | 16.7 | 16.9 | 17.2 | 17.4 | 17.9 |
| 12H | 4H | 16.8 | 17.1 | 17.3 | 17.6 | 18.0 | 16.8 | 17.1 | 17.3 | 17.6 | 18.0 |
| | 6H | 16.7 | 17.0 | 17.2 | 17.4 | 17.9 | 16.7 | 17.0 | 17.2 | 17.4 | 17.9 |
| | 8H | 16.7 | 16.9 | 17.2 | 17.4 | 17.9 | 16.7 | 16.9 | 17.2 | 17.4 | 17.9 |
| Variations with the observer position at spacing: | | | | | | | | | | | |
| S = | 1.0H | 4.4 / -24.6 | | | | | 4.4 / -24.6 | | | | |
| | 1.5H | 7.2 / -25.8 | | | | | 7.2 / -25.8 | | | | |
| | 2.0H | 9.2 / -26.2 | | | | | 9.2 / -26.2 | | | | |